

鉗接接頭質量檢驗

納查洛夫著



機械工業出版社

鍚接頭質量檢驗

納查洛夫著

朱定譯



機械工業出版社

1955

出版者的話

本書敘述工業上應用的各種鉗接接頭的檢驗方法；特別着重於非破壞性的鉗件檢驗方法。對於利用X射線和 γ 射線透視鉗縫和利用磁性方法及超音波方法檢驗鉗縫，藉以發現鉗接接頭中的氣眼、夾渣、裂紋和未鉗透等的缺陷，都有詳細介紹；對於鉗縫外表檢查工作的敘述也很詳盡。另外，又單獨闡述了用接觸鉗鉗成的接頭的檢驗方法。

本書是從事鉗件檢驗工作的工程技術人員的讀物；也可供工業大學鉗接專業的學生參考。

蘇聯 С. Т. Назаров 著 ‘Контроль качества сварных соединений’ (Машгиз 1950年第一版)

* * *

書號 0842

1955年10月第一版 1955年10月第一版第一次印刷

850×1168 1/32 字數 179 千字 印張 7 1/8 0,001—2,000 冊

機械工業出版社(北京東交民巷 27 號)出版

機械工業出版社印刷廠印刷 新華書店發行

北京市書刊出版業營業許可證出字第 008 號

定價(8) 1.34 元

原序	6
緒論	7
第一章 鋼接接頭的缺陷及其發生的原因	10
手工電弧鋸的缺陷	10
自動電弧鋸的缺陷	22
氣鋸的缺陷	23
氫原子鋸的缺陷	27
第二章 鋼接質量的外表檢查	28
鋸接前坯件的外表檢查	28
鋸接時鋸縫的外表檢查	30
鋸成的接頭的外表檢查	32
鋸縫形狀及尺寸的檢驗	36
第三章 鋼接嚴密性的檢查	40
火油試驗	40
空氣試驗	41
用阿母尼亞試驗	42
水壓試驗	43
第四章 鋼接的金相研究	46
鋸接接頭宏觀組織的研究	46
供研究用的宏觀磨片的割取及其準備工作(47)——確定鋸縫的宏觀組織(49)	
鑽探檢驗	53
鑽槽檢驗(53)——栓塞鑽割檢驗(54)	
鋸接接頭顯微組織的研究	55
顯微磨片割取地位的選擇及其製造(56)——顯微磨片的浸蝕(57)——在顯微鏡下研究磨片的顯微組織(59)——鋸縫熔化金屬的顯微組織(60)——熱影響區的顯微組織(63)——低合金鋼及碳鋼內奧氏體的分解(66)——顯微組織的說明及研究結果的鑑定(68)	
在鋸接接頭金相研究中硬度的確定	69

第五章 化學分析及腐蝕試驗	71
化學分析	71
鋁接接頭的腐蝕試驗	72
第六章 機械試驗	75
機械試驗用的試樣坯件的割取	75
靜力試驗	76
動力試驗	85
疲勞試驗	86
第七章 鋼料可鋸性的鑑定方法	89
鋼料可鋸性的直接鑑定法	89
橫向對接鋸縫的靜力彎曲試驗(89)——丁字鋸接試樣的靜力彎曲試驗 (90)——具有切口試樣的衝擊試驗(90)——具有切口試樣的靜力彎曲 試驗(91)——擊破試驗(92)	
鋸接中裂紋形成的試驗	93
剛性輪廓內作搭接鋸試驗(95)——金茲布爾格和特拉仁什多克試驗法 (96)——基洛夫工廠試驗法(96)——用恆定剛性限制鋸縫作對接鋸的 試驗(97)——用變動的剛性限制鋸縫作對接鋸試驗(98)	
鋼料可鋸性的間接鑑定法	98
冷卻曲線和奧氏體等溫分解曲線比較(99)——MBTV 鋸層試驗(101) ——鋸層試驗的圖解構成示例(102)	
第八章 鋸縫的X射線透視檢查法	104
X射線的本質，性能及其取得方法	104
X射線機	107
鋸接接頭的X射線透視技術	110
X射線形像的取得(110)	
X射線透視鋸接接頭的方法	122
按X射線照片確定缺陷實際尺寸的計算法	129
鋸接接頭質量的鑑定(134)	
第九章 用鐳的γ射線透視鋸接接頭的檢驗法	137
用鐳的γ射線透視鋸接接頭的技術	140
γ射線照片的顯影加工	150
按γ射線攝取的照片鑑定鋸縫質量	151
鐳γ射線透視和X射線透視的優缺點比較	153

用 X 射線和 γ 射線透視鉗接接頭的實用介紹.....	155
照片顯影加工.....	158
根據 X 射線和 γ 射線照片作鉗縫質量鑑定法.....	160
按 X 射線照片依 OCT 20019-38 分數規定鑑定鉗接接頭的方法.....	160
進行照片的統計和登記工作.....	164
第十章 鉗接接頭的磁性檢驗法.....	165
磁性檢驗中發現金屬缺陷的物理質質.....	165
用磁粉法檢驗金屬和鉗接.....	169
乾粉檢驗技術(173)——懸浮體檢驗法(173)——退磁(179)——用磁 粉法作金屬和鉗接磁性檢驗的設備(182)——複雜管式部件的鉗接檢 驗(183)	
鉗接接頭的感應法磁性檢驗.....	184
感應法檢驗的靈敏度(184)——用於檢驗鉗縫的赫列諾夫和納查洛夫 式缺陷檢驗器(185)——1948年型缺陷檢驗器構造簡述(186)——放大 器各項零件的用途(188)——缺陷檢驗器的正常工作(190)	
螢光檢驗法.....	191
第十一章 接觸鉗的缺陷及接觸鉗鉗接接頭質量的檢驗 方法.....	193
接觸鉗鉗接接頭檢驗法.....	193
機械試驗(193)——金相研究(196)——X 射線透視(197)——磁性法 檢驗(198)	
第十二章 超音鉗接缺陷檢驗器.....	200
超音波的獲得及其性能.....	200
第十三章 鉗接技術檢驗的組織.....	211
金屬檢驗.....	211
電鉗條及填充金屬的檢驗.....	211
鉗工考查.....	211
技術文件的檢查.....	212
附錄一 鍋爐監督機構關於電鉗工和氣鉗工考試規則草案.....	213
附錄二 工業用放射線攝照工作的勞動保護條例.....	220
附錄三 ‘關於防護 X 射線及鐳射線的國際適用條例’摘要.....	224
參考文獻.....	226
中俄名詞對照表.....	227

原序

在機械製造各部門內所獲得的現代技術的成就，在很大程度上有賴於先進工藝——金屬鉗接的廣泛採用。蘇聯的鉗接工作者們隨着卓絕的俄國金屬電鉗發明家司拉汶諾夫(Н.Г.Славянов)和別那爾道斯(Н.Н.Бенардос)的先例，以各種新的成就更豐富地充實着鉗接技術。金屬鉗接技術的發展和改進，對鉗接接頭質量的檢驗方法提出了新的要求。在我們社會主義體系的國民經濟中，工業產品的質量是國家重要的工作。鉗接工作者們對鉗接檢驗工作寄以極大注意，而近年來在這方面已出現了一系列的成就。但有關此類問題的書籍文獻還是不够的。有關鉗接質量檢驗的文獻如基霍捷耶夫(Г.М.Тиходеев)，保果金-阿列克謝也夫(Г.И.Погодин-Алексеев)，巴茨蓋維奇(И.Р.Пацкевич)等所著的書籍中，顯然感到不足。本書作者對這一專題的文獻儘其可能予以補充。

本書的材料係採自作者在莫斯科高等工業大學(МВТУ)關於鉗接質量檢驗課程中的授課講義，以及作者在工廠實驗室和莫斯科高等工業大學鉗接實驗室所得的實驗資料及實際工作經驗。

作者對讀者的一切指正，將表示極大的感謝。作者衷心感謝與作者對鉗接檢驗問題共同工作多年的赫列諾夫(К.К.Хренов)和基霍捷耶夫對本書的審閱與寶貴的意見以及索爾索洛夫(М.Х.Шоршоров)、庫茲新佐夫(Т.П.Кузнецов)、林道爾夫(Н.М.Линдорф)和那柴洛娃(Н.С.Назарова)各位對本書編輯方面賜予作者以多方協助。

緒論

發現鉗道內缺陷的問題並以簡捷便利的方法確定生產上鉗接接頭的質量，是有重大的實際價值的。檢驗鉗縫的可靠方法，能使鉗接技術有可能廣泛地應用在重要結構和建築上。但是由於鉗接物理本質的關係，顯然很難製定出一種通用的檢驗方法，以確定全部鉗接接頭的質量。近來鉗接工作者們應用着幾種鉗接質量的檢驗方法，其中每一種各有其優缺點。選擇鉗接檢驗方法並合理地應用，是鉗接生產人員最重要的任務。

為了明瞭鉗接接頭檢驗任務的實質，簡要地敍述一下鉗縫中所經常遇到的缺陷之特性是必要的。當熔鉗時鉗縫的中部由熔化金屬組成，緊接此處的為熱影響區。熱影響區基本金屬的組織或多或少地由於鉗接過程的熱力作用而發生變化，同時這種影響區由於鉗接過程和金屬性質的關係，也可能分成幾個獨立區或獨立層。在影響區內可能區分為幾個獨立層，在這些獨立層內可以發現晶粒變細或變粗、過熱、淬硬、回火等情況。影響區對基本金屬的區別一般僅在組織上而不是在化學成分上，影響區逐漸轉化為基本金屬的組織，在鉗接過程中由於加熱不大仍然不變。

鉗縫，特別是熔化金屬，其特徵為不同一性；有時在鉗縫上所遇到的金屬變質，可能延長到幾公分長。

鉗縫的質量，完全按一系列因素的總合來確定。其中有關的如熔化金屬的化學成分，它的組織，熔化金屬受非金屬夾雜物污損的程度，宏觀組織缺陷的存在，熔化金屬和基本金屬熔合的缺陷，在影響區金屬的組織以及在其中裂縫的存在，鉗縫中內應力的存在及其值的大小，鉗縫的外形等等。

確定鉗縫質量的因素相當多而且各不相同。因而檢驗鉗縫質量的方法亦各有不同，必須事先限定在檢驗時究竟需要確定何種

缺陷。

熔化金屬的化學成分以熔潭內熔化的基本金屬和填充金屬的比例、基本金屬和填充金屬內所含元素的燒損、空氣中氮、氧的吸收，以及熔劑和塗料中各項不同元素的吸收等關係來確定。

鋸縫金屬的化學成分，可由鋸縫中所取得的鉋屑予以化學分析來確定。

鋸縫金屬的組織可在磨片上以金相研究確定之。

為了確定在熔化金屬內宏觀組織的缺陷——時常會在鋸縫中看到的渣、氧化物、氣眼、裂紋等，且有時含量很多，通常採用非破壞性的鋸縫檢驗法。這些缺陷的數量、大小，及其對鋸縫強度所影響的實際意義，不僅在各種不同的鋸縫上，甚至在同一鋸縫的各不同地段都是不一樣的。

宏觀組織的缺陷，可使鋸縫在工作時引起局部的超負荷而大大地減低強度，特別是用在交變負荷和動力負荷上。尤其重要的是發現熔化金屬和基本金屬熔合上的缺陷，即形成一般所謂的未鉋透，亦即熔化金屬和基本金屬間未熔接，被一層薄的氧化膜或熔渣層所隔離。未鉋透——實際上是最普遍的缺陷，而此項缺陷對鋸縫的強度特別有害。

為了發現在鉋接接頭內氣眼、夾渣、裂紋以及未鉋透等缺陷，鉋接工作者們可利用X射線和Y射線透視，用磁性方法及超音波方法等檢驗，這些方法在本書內將有詳細介紹。

影響區金屬的組織，對鋸縫質量的影響很大；經常恰是此區不是熔化金屬成為鋸縫最弱的地方。影響區的組織，一般利用金相研究來發現；實際上迄今尚未有採用非破壞性的方法以發現影響區金屬的組織，但這種需要亦不大，因為該金屬在一定的鉋接方法和規範中，在整個一條鋸縫內，此項組織是比較固定的，且可以事先在試樣上發現。

影響鋸縫質量最重要的因素，是鋸縫內所存在缺陷的大小、性質以及在鉋接過程中鋸縫內發生內應力的分佈情況。

用簡便而又可靠的方法發現此項應力並測定其大小，對生產工作是極為有利的。對於發現鋁接頭內應力方法的敘述，未列入本書任務內。

鋁縫的外形輪廓對其強度亦極重要；截面的變化過劇及變更、咬邊、燒穿及其他缺陷的存在而產生局部的應力集中，這在變更負荷及動力負荷上是特別危險的。本書對鋁縫外表檢查工作的敘述亦很詳盡。

第一章 鋸接接頭的缺陷及其發生的原因

鋸接缺陷及在鋸接接頭內發生缺陷的原因，就電弧鋸（手工鋸和自動鋸）、氣鋸、氫原子鋸、接觸鋸及特種類型的鋸接等說來，是多種多樣的，而上述各型的每種鋸接性能也是各不相同的。

手工電弧鋸的缺陷

在鋸接過程中，如果鋸條的擺動動作不正確和電鋸條移動不均勻，以及邊緣切割不正確，則會使鋸縫的寬度不均勻（圖14）。

在用長弧鋸接而電流強度過大、鋸接速度過高及單層對接鋸縫邊緣切角過大時，會使鋸縫形成過度的中低凹面（圖16）。

如果鋸接時的電流小而速度低，鋸條擺動動作不足，以及當電極反聯施鋸時，可使鋸縫大大增強（圖18）。

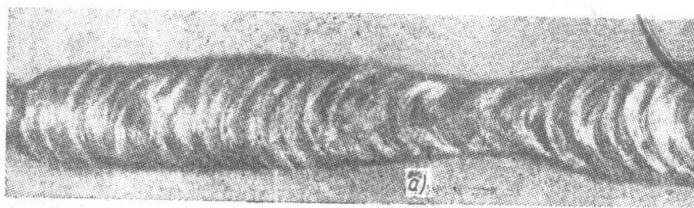
沿鋸縫長度增強部分的高度不等，存在着高堆和鞍形低陷是由於點定鋸鋸接方法不正確，為免除鋸口而鋸條回收動作不當等所致（圖11）。

丁字鋸縫的邊長尺寸不同是由於鋸條斜度和擺動動作不正確所致（圖2）。鋸縫間斷、鋸口未鋸滿是由於鋸工工作不注意和技術熟練程度過低所致。

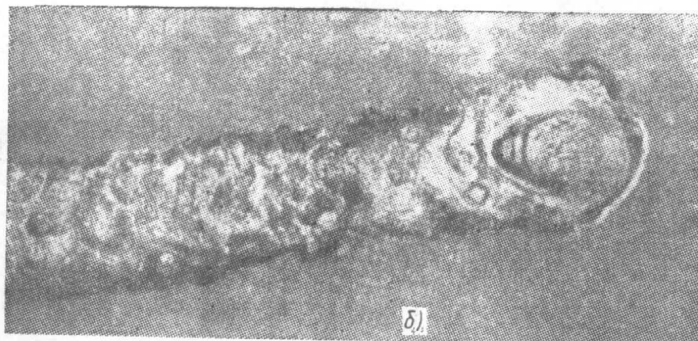
上列缺陷會增大鋸縫內局部的應力集中，減低接頭強度並損壞鋸縫形狀。在鋸薄型材料時經常遇到的鋸縫缺陷是燒穿。燒穿由於電弧的單位能過高，鋸接速度不均勻，鋸接前鋸件裝配不良等所引起（圖3）。

滿溢 這是由於熔接金屬本身重量關係，流敷在未熔化的基本金屬上所致。滿溢的缺陷在對接接頭以及‘T’形接頭（圖4）中可能遇到。

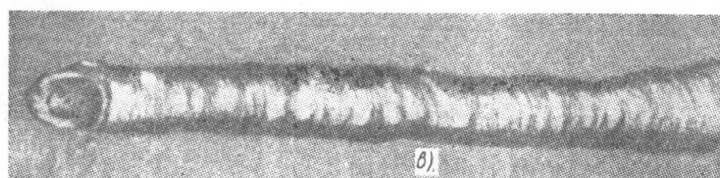
咬邊 是沿鋸縫熔化金屬邊緣在基本金屬上成為溝槽形，這



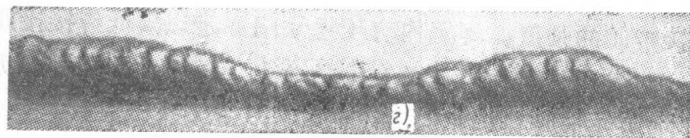
a)



b)



c)



d)

圖 1 鋸齒的外形:

a—鋸齒寬度不均勻; b—過度凹陷; c—過度加強; d—具有高堆和鞍形低陷。

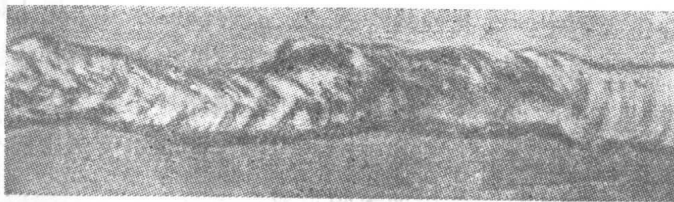


圖 2 角鋸齒的縱邊不均勻

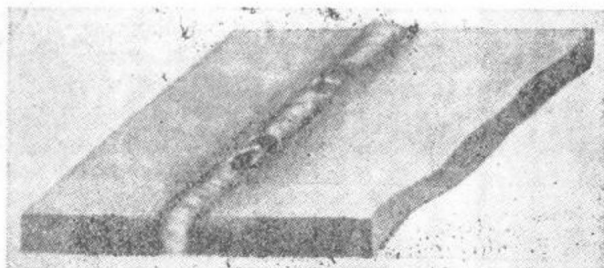


圖 3 燒穿



圖 4 滿溢

是由於鉗接時電流和電弧電壓過大所致。單側咬邊的形成，是由於鉗接邊緣的一側集中加熱所致（圖 5）。

燒穿和滿溢是鉗接上不可容許的缺陷，因為它們會大大地降低鉗接接頭的強度。鉗縫內有咬邊缺陷亦足以減低鉗接接頭的強度，特別是用於動力負荷及交變負荷上，鉗接結構承受靜力負荷時，此項微小的咬邊缺陷是許可的。

氣眼 可露在鉗縫表面或隱藏在內部深處，通常氣眼小到用顯微鏡才能看出，大到直徑為 3 公厘。

在電弧鉗中，多孔性的鉗縫是由於鉗接前未將金屬上鐵鏽油質和油漆去淨，電鉗條塗料沒有充分乾燥，熔化金屬冷卻過快，在電弧熱能過小或鉗接速度過速時阻止氣體浮離至鉗縫表面上等原因所致。電弧過長，在基本金屬內及電鉗條或塗料內含碳成分過高以及極性不適合等亦能促使氣眼形成。

氣眼在熔化金屬內的分佈，可歸類如下：

a) 均勻分佈多孔性(圖 6) 氣眼或多或少地均勻分佈在熔化金屬內。

6) 成羣氣眼 氣眼成羣分佈，相互間為緊密金屬的大區段所隔離。成羣氣眼的形成經常發生在鋁縫的起點，這是由於鋁接情況未穩定，電弧上變更電流和電壓以及電弧的中斷和更換電鋁條時重新引燃電弧等原因而引起。

b) 線狀多孔性 所謂線狀多孔性，是指氣眼分佈成小鍊條形，彼此相隔間距不大，並和鋁縫的軸心相平行。鋁縫中小鍊條狀的氣眼，經常分佈在基本金屬熔化區域的邊界附近，接近鋁縫的表面。線狀氣眼的分佈，經常發生在助熔劑自動鋁接的情況下。

如在熔化金屬內有氣眼，則會減小鋁接接頭截面的工作面積，因而降低其強度。

在鋁縫金屬內沿氣眼邊緣可能發生應力集中。多孔性會使鋁縫不緊密而且降低鋁接接頭的塑性。

非金屬夾雜物 在鋁縫組織內非金屬夾雜物分佈的性

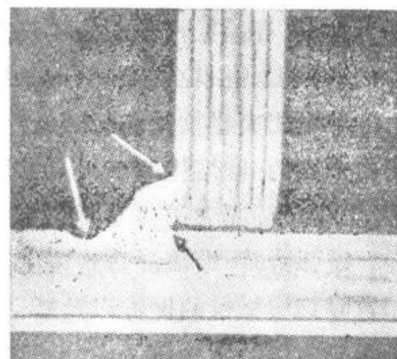


圖 5 咬邊

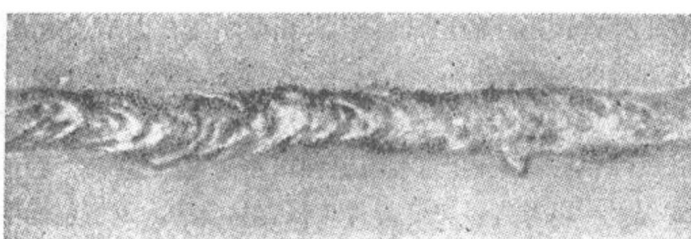


圖 6 均勻分佈的多孔性

質、尺寸、數量及其性能是各不相同的。非金屬夾雜物的化學成分決定於電鋁條塗料的成分，填充棒的質量，以及熔潭內受反應過程的溫度條件等。非金屬夾雜物可能為元素物質，例如鑄鐵內的碳，二元

素化合物—氧化物($\text{FeO}\cdot\text{MnO}\cdot\text{SiO}_2$, Cr_2O_3 等), 硫化物($\text{FeS}\cdot\text{MnS}$), 氮化物(Fe_3N), 碳化物及綜合化合物——矽酸鹽($\text{FeO}\cdot\text{SiO}_2$, MnOSiO_2), 鈦酸鹽, 磷酸鹽以及其他等等。在熔化金屬內的非金屬夾雜物往往成為共晶體, 例如 Fe 及 FeO 並成為各獨立相狀態。

視非金屬夾雜物的尺寸大小, 形成的獨立相可區分為顯微的和宏觀的兩種。

宏觀夾雜物 這是各種形狀的(球狀, 橢圓的, 長方形的及其他)較大夾雜物, 在未熔化的基本金屬和熔化金屬之間的薄氧化膜。

顯微的夾雜物——針狀物(氮化物), 在熔化金屬晶粒邊界上的氧化膜, 在晶粒內部或晶粒邊界的單個小晶粒(例如碳化物), 細粒的次顯微的微粒質點(例如 Al_2O_3)。

非金屬夾雜物是在鉗接過程的各個不同的階段中, 在熔化金屬內形成的: 當熔化的金屬滴由鉗條落入鉗件時; 熔潭呈熔化狀態時; 熔化金屬凝固過程及凝成固體狀態後。

電弧鉗時, 熔渣混雜到熔化金屬內, 可能有兩種情況: 由於異體質點以機械性的攪拌以及滯留於熔化金屬所致的夾渣; 由於鉗縫金屬內熔有某種熔渣成分, 熔化金屬熔滴及熔潭和周圍大氣以及熔化金屬本身相互作用所經過的反應而引起的夾渣。

在電弧鉗接過程的正常條件下, 由塗料熔化而形成的熔渣, 全部浮在鉗縫的表面。

倘使熔化金屬凝固速度過高, 會使熔渣不能及時浮出表面而一部分就遺留在鉗縫內。這種現象在以小的電流施鉗時, 在低溫鉗接的情況下, 以及鉗接厚壁鉗件時很容易發生。電鉗條的塗料厚度, 如不足以形成較薄的熔渣層, 也會促使冷卻速度加大。

夾渣 第一類夾渣, 通常由於氣割後沒有將鉗接邊緣的氧化鐵皮或其他不潔物好好去淨, 由於點定鉗時熔渣沒有充分清除, 以及多層鉗接情況下未將上一層的熔渣充分清除等原因所造成。

此外在鋼板上經常可見到沿壓延方向延伸的非金屬的夾雜物。鉗接前鉋邊時，此項夾雜物可能露在表面，如果不將其清除，鉗接後，一部分就遺留在鉗接接頭內。加大鉗接邊緣鉗縫金屬的冷卻速度，會使這種情況更易形成。

第二類夾渣，主要是由於熔化金屬溶液中的某些化合物在其冷卻和凝固過程中沉澱於鉗縫內，以及由於鉗縫金屬加入成分的氧化所致。

熔化金屬內夾雜物的數量和大小，是依熔潭內的氧、氮、錳、矽及其他夾雜物（在特種鋼內）的含量，微粒凝結性，液態金屬內微粒浮至表面的速度及其在固溶液中的擴散速度而定的。熔潭內 O_2 、 N_2 、Mn、Si、Al 的含量愈多，混雜到熔化金屬層內的該項夾雜物也愈多。

當用白堊或其他薄塗料的鉗條鉗接時，因它們不能保證可靠的防護熔化金屬不受空氣中氧氣的氧化，在熔化金屬內經常遇到氧化鐵類的夾渣。

當用優質鉗條鉗接時，夾渣的形成，是由於選擇塗料層的成分不適當，不能保證鉗縫熔化金屬必要的反應特別是金屬脫氧反應，並形成不易熔解的和濃厚的熔渣，因其含有過量的個別成分而致鉗縫夾渣。

夾渣能減小鉗縫截面面積而降低鉗接接頭強度。特別是長方

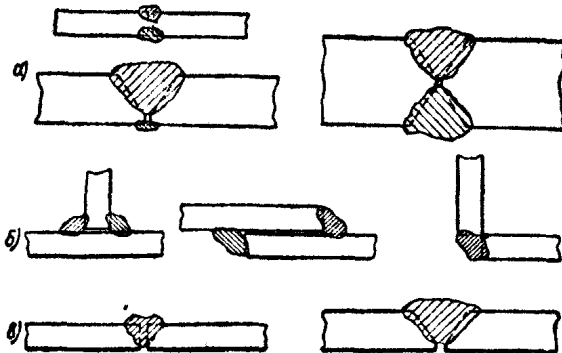


圖 7 未鉗透：

a—在對接鉗縫截面角頂處；b—在丁字及搭接接頭角頂處；c—底面邊緣。

形夾渣，會形成高度的局部應力集中，並在衝擊負荷下，就大大地減低鉗接接頭的強度。許多小氣眼和夾渣密集在鉗縫表面受衝擊負荷而減低的鉗接強度，比一個粗大的夾渣而分佈在距鉗縫表面很遠的要小得多（參閱第8章）。

在熔化金屬內，因含氮量增加形成針狀氮化物及含磷量增加形成磷化物，使熔化金屬具有脆性。含有非金屬夾雜物而在微粒邊緣組成易溶共晶體低熔金屬，例如 FeO , FeS 等能使熔化金屬具有熱脆性。

未鉗透 按未鉗透在鉗縫內的分佈情況將其區分為下列各類：

1. 沿截面未鉗透的缺陷。屬於此類的有：

a) 未鉗透在對接接頭中V形和X形的鉗縫的坡口角頂處以及在不開坡口兩面鉗接的中心處（圖7a）；

b) 在丁字、搭接和方角接頭中，角頂未鉗透（圖7b）；

c) 在單面鉗接不開坡口和V形坡口鉗縫的底面邊緣未鉗透（圖7c）。

2. 邊緣未鉗透亦即在J、V、X及U形坡口的對接接頭中，其基本金屬和熔化金屬未熔接（圖8），以及在丁字和搭接接頭中亦有上述同類情形。

3. 多層鉗縫中熔化金屬各層之間未鉗透。

未鉗透缺陷的發生原因如下：

a) 鉗工技術熟練程度不足，或對工作漫不經心；

b) 鉗接接頭的坡口及裝配不正確：坡口開度不足，間距尺寸過小，鈍度過大，接合件坡口的鈍度尺寸不一，V和X形的鉗縫邊緣不齊；

c) 電弧的電流和電壓不足而鉗接速度大；

d) 基本金屬未充分加熱，而電鉗條燒熱，並急驟地熔化；

e) 因有銹污、熔渣、氧化鐵皮及其他污垢而阻礙基本金屬的邊緣很好地熔化，或在多層鉗接中阻礙底層的熔化；

f) 鉗條的傾斜角不正確，因此熔潭偏於基本金屬的一邊；